

مقایسه شاخص پوشش گیاهی نرمال سیب‌زمینی بین سبزینه‌سنجد و ماهواره لندست

*حسنی محمدی منور^۱

تاریخ دریافت: ۱۳۹۶/۰۲/۲۷

تاریخ پذیرش: ۱۳۹۶/۰۶/۱۳

چکیده

تغییرات زیاد میزان نیتروژن خاک مزارع کاربرد مفید کود ازت را محدود می‌کند. مدیریت خلاقانه کود باید به گونه‌ای باشد تا از اثرات مخرب کودددهی زیاد جلوگیری کند و همچنین بتواند بازدهی مزرعه را افزایش دهد. استفاده کمتر یا بیشتر از ازت بر روی کیفیت غده سبزینه‌زمینی مؤثر است. هدف استفاده از حسگر سبزینه‌سنجد (GS) و تصاویر ماهواره‌ای در یک مزرعه تجاری سبزینه‌زمینی رقم مارفونا واقع در شهرستان بهار استان همدان، قابلیت به کارگیری این حسگرها و امکان جایگزینی آن نسبت به روش‌های متداول بود و همچنین با استفاده از طیف‌ستجی برگ، میزان شاخص پوشش گیاهی نرمال (NDVI) مطابق طول موج حسگر GS محاسبه شد. اندازه‌گیری با سبزینه‌سنجد هر هشت روز در هر متر مربع ثبت گردید. در طول دوره رشد تا برداشت دوبار از تصاویر ماهواره لندست ۸ (INSEY) و داده‌ای هواشناسی با مقدار NDVI بررسی شده در مدل رگرسیونی بردار پشتیبان (SVR) به ترتیب 0.947 ± 0.004 و 0.947 ± 0.007 توسط سبزینه‌سنجد و 0.947 ± 0.004 توسط تصویر لندست پیش‌بینی گردید. نتایج نشان داد که NDVI محاسبه شده توسط GS (0.94 ± 0.004) با دقت بیشتری نسبت به تصاویر OLI (0.91 ± 0.004) توسط طیف‌ستجی تأیید شد که علت آن را می‌توان به تغییرات جوی مربوط دانست. لذا سبزینه‌سنجد به طور دقیق و مؤثر می‌باشد در مزارع برای مدیریت کود ازت به کار گرفته شود.

واژه‌های کلیدی: تصاویر ماهواره‌ای، سبزینه‌سنجد، شاخص پوشش گیاهی نرمال

به منظور افزایش محصول، غده‌های سبزینه‌زمینی باید شکل و اندازه یکنواخت داشته باشند و آسیب‌های ظاهری و داخلی آنها به حداقل برسد که با مدیریت مصرف بهینه کود ازت، قابل دستیابی است (Stark and Brown, 2003). تکنولوژی‌های نوین اخیر (حسگرهای نوری و از راه دور) عملکرد و کیفیت سبزینه‌زمینی را افزایش داده‌اند. میزان کلروفیل به موارد مختلفی وابسته است که در این میان تغییرات ازت برگ‌ها تعیین کننده هستند. حسگر سبزینه‌سنجد (Greenseeker, 2016) در میان شاخص‌های مختلف گیاهی، NDVI بیشتر برای پایش سبزینگی در بسیاری از تحقیقات پیشین به کار رفته است (Cheret and Denux, 2011; Im et al., 2012; Meng et al., 2013; Yuan et al., 2014) این شاخص از بازتاب در باند قرمز و فروسرخ محاسبه می‌شود (رابطه ۱). در باند قرمز جذب کلروفیل و در باند فروسرخ بازتابش سبزینگی رخ می‌دهد که می‌تواند میزان تجمع ازت در گیاه را پیش‌بینی کند. با توجه با اینکه NDVI بر روی

مقدمه

مدیریت مزرعه بخشی از کشاورزی دقیق است که می‌تواند تأثیر محیطی و اقتصادی مشتبی بر روی کیفیت تولید گیاهان در مزرعه داشته باشد. پایشگر لحظه‌ای عملکرد سبزینه‌زمینی نمونه‌ای از کاربرد کشاورزی دقیق می‌باشد (MohammadZamani et al., 2014). تصمیم درباره میزان کود ازت مورد نیاز بستگی به فاکتورهای خاک، شرایط اقلیمی و الگوی رشد گیاه دارد. مقدار بهینه ازت از یک مزرعه به مزرعه دیگر در طول یک مزرعه متفاوت است (Kitchen et al., 2010). تفاوت در محتوای نیتروژن گیاه در طول سال‌های کشت معمولاً به علت تغییرات اقلیمی می‌باشد در حالی که تفاوت در محتوای نیتروژن گیاه در یک مزرعه را به تفاوت در شرایط خاک مربوط دانسته‌اند (Olfs, 2009). به علت تغییرات در متغیرهای خاک که سبب توزیع نایکنواخت مواد معدنی و کمبود نیتروژن می‌گردند. کودددهی ازت انجام می‌شود (Schepers and Shanahan, 2009).

۱- استادیار، گروه مهندسی مکانیک بیوسیستم، دانشکده کشاورزی، دانشگاه بوعلی سینا، همدان
(*)- نویسنده مسئول: (Email: hosna.mohamadi@basu.ac.ir)
DOI: 10.22067/jam.v8i2.64486

بیشترین تأثیر را روی خصوصیات کیفی محصول دارد، هدف از این تحقیق بررسی دقت عملکرد سبزینه‌سنج در تشخیص NDVI در طول دوره رشد سیب‌زمینی و یافتن رابطه آن با مقدار اندازه‌گیری شده در تصویر حسگر OLI است.

مواد و روش‌ها

مزرعه مورد مطالعه

مزرعه تجاری سیب‌زمینی رقم مارفونا به وسعت سه هکتار در شهرستان بهار استان همدان به ترتیب با طول و عرض جغرافیایی $48^{\circ}45'$ شرقی و $34^{\circ}95'$ شمالی واقع است. سیب‌زمینی در روزهای ابتدای اسفند ۹۴ کشت شد و بعد از رشد اولین برگ‌ها در کل مزرعه، آزمایش آغاز گردید. زمین در طول زمستان به صورت آیش رها شده بود و پیش از کاشت، خاک سطحی توسط دیسک زیر و رو شد. برخی فاکتورهای خاک در آزمایشگاه خاکشناسی دانشکده کشاورزی دانشگاه بولعلی استخراج (جدول ۱) و بافت خاک در ۷۵ سانتی‌متر سطحی لومی شنی گزارش شد. نمونه‌برداری از برگ سیب‌زمینی در هر متر مربع با سبزینه‌سنج انجام شد. سبزینه‌سنج در فاصله ۶۰ سانتی‌متری بالای گیاه قرار گرفت و میانگین سه بار داده‌برداری معرف NDVI گیاه بود. هر هشت روز یکبار اندازه‌گیری از کل مزرعه انجام شد. با توجه با اینکه ماهواره لنست ۸ هر ۱۶ روز داده‌برداری می‌کند دو تصویر همزمان با داده سبزینه‌سنج در دوره خاکدهی پای بوته^۱ و وقتی بوته به ارتفاع ۳۰ سانتی‌متری رسید، برداشت شد. جدول ۲ تاریخ برداشت تصاویر و داده‌های NDVI را نشان می‌دهد. در زمان کاشت همراه با آبیاری کود مرغی خشک با محتوی $\text{N} \leq 4/5$ ازت در بخشی از خاک (ضلع جنوب غربی مزرعه) که کمبود نیتروژن داشت، توزیع گردید. به این ترتیب NDVI اندازه‌گیری شده توسط GS در کل مزرعه یکنواخت شد.

تغییرات جوی

استان همدان منطقه‌ای مرتفع و کوهستانی است و دشت‌های وسیع منطقه شرقی و شمال شرقی استان را در مسیر بادهای شدید قرار می‌دهد. به گزارش ایستگاه سینوپتیک بهار حداقل مطلق درجه حرارت هوا $36/8$ و حداقل مطلق آن $-29/6$ و متوسط حرارت آن $9/6^{\circ}\text{C}$ است. در این استان $100 - 143$ روز یخ‌بندان است که در زمستان و گاهی فوردهای ۳ داده‌های هواشناسی (حداقل دما، سرعت وزش باد و بارندگی ماهانه) منطقه را نشان می‌دهد که ایستگاه هواشناسی آن در فاصله $4/5$ کیلومتری مزرعه مورد مطالعه قرار دارد. از آنجا که تغییرات جوی از عوامل مؤثر بر

فاکتورهای بسیاری مانند تجمع بیومس، رشد گیاه، خواص فیزیکی-شیمیایی و بیولوژیکی خاک مؤثر است پس می‌توان GS را ابزاری مناسب برای پایش تمامی این فاکتورها در نظر گرفت. از طرف دیگر چون دقت GS تحت تأثیر میزان نور، تغییرات دما یا وزش باد قرار نمی‌گیرد NDVI خوانده شده کاملاً قابل اعتماد است. این شخص به طور غیرمستقیم با سلامت خاک رابطه دارد زیرا تجمع زیست‌توده، استرس‌های ناشی از کمبود مواد مغذی و بیماری‌های گیاهی را بازتاب می‌دهد. به همین علت GS را وسیله اندازه‌گیری غیرمستقیم فاکتورهای pH، EC، N، P، K و OC می‌دانند.

$$\text{NDVI} = \frac{\text{NIR} - \text{Red}}{\text{NIR} + \text{Red}} \quad (1)$$

که در آن NIR و Red به ترتیب بازتاب طول موج فروسرخ نزدیک و قرمز هستند.

در دهه‌های اخیر افزایش تعداد حسگرهای ماهواره‌ای فرصت مناسبی را برای استخراج NDVI در مقیاس‌های زمانی و مکانی مختلف و همچنین کاربرد همزمان چندین ماهواره فراهم می‌سازد (Hong *et al.*, 2009; Ke *et al.*, 2015). اگرچه مشکلاتی هم در استفاده همزمان از چند حسگر ماهواره‌ای وجود دارد که به علت تفاوت در شرایط جوی زمان پیمایش، باندهای طیفی، عملکرد سامانه و زمان تصویربرداری به وجود می‌آیند (Hadjimitsis *et al.*, 2010). تفاوت در طول موج طیفی ماهواره‌ها به تنها ۱۰٪ تفاوت در NDVI می‌شود (Teillet and Ren, 2008). این بی‌ثباتی سبب عدم اعتماد به پاسخ‌های حسگرهای ماهواره‌ای می‌گردد. لذا پژوهش‌های پیشین با مقایسه همزمان چند ماهواره صحبت این موضوع و دقت Feng *et al.*, 2012; Maiersperger *et al.*, 2013; Ke *et al.*, 2015 مشاهده شده را بررسی نمودند (Maiersperger *et al.*, 2013). ماهواره لنست ۸ آخرین ماهواره خانواده لنست است و در فوریه ۲۰۱۳ پرتاب شده است. به این ماهواره دو حسگر تصویرساز زمین عملیاتی^۲ (OLI) و حسگر فروسرخ گرمایی^۳ (TIRS) و دو باند طیفی جدید (باند مرئی آبی عمیق^۴ در $430 - 450\text{ nm}$ و باند فروسرخ کوتاه^۵ در $1390 - 1360\text{ nm}$) اضافه شده است که توان عملیاتی و دقت آن را نسبت به سایر ماهواره‌های این خانواده می‌افزاید. تصاویر چندطیفی ماهواره‌ها در تخمین پوشش بقایای گیاهی و شدت خاکورزی با دقت بالای Rostami *et al.*, 2014) و همکاران (۲۰۱۴) شاخص سبزینگی را در تصاویر پیشار نزدیک به مشاهدات زمینی می‌باشند (Li *et al.*, 2014) و همکاران (OLI) و لنست ۸ (ETM+) مقایسه کردند و ماهواره‌های لنست ۸ (OLI) و لنست ۷ (ETM+) به پایداری بالای ($R^2 > 0.99$) رسیدند. از آنجا که وضعیت نیتروژن

1- Operational Land Imager

2- Thermal Infrared Sensor

3- Deep Blue Visible Band

4- Shortwave Infrared Band

تبديل انرژی، حرکت و تبادل گازها به طور قابل ملاحظه ای به وسیله NDVI مشخص می شود که به طور معمول برای کنترل فرآیند رشد گیاه به کار می رود.

عملکرد محصول می باشد با مدل رگرسیونی آنها میزان NDVI پیشینی گردید. شاخص NDVI کلید ورودی در مدل های زیست محیطی به دلیل ارتباط آن با فتوسنتز، تعرق، چرخه تعامل کربن و مواد مغذی و بارندگی است (Deng *et al.*, 2006). جذب تابش،

جدول ۱- برخی خواص شیمیایی خاک

Table 1- Some chemical properties of soil

فاکتورهای خاک Soil features	کربن آلی (%) Organic carbon	نیتروژن (mg.kg ⁻¹) Nitrogen	پتاسیم (mg.kg ⁻¹) Potassium	فسفر (mg.kg ⁻¹) Phosphor
متوسط ۱۵ نمونه تصادفی Average of 15 random samples	1.2	0.14	23.5	1.5

جدول ۲- تاریخ اندازه گیری توسط GS و OLI

Table 2- Measurment Dates by GS and OLI

مراحل رشد Growth Stage	کاشت Planting	جوانه زدن Emergence	خاکدهی پایه Post-Hilling	ساقه به ارتفاع ۳۰ سانتی متر 30cm stem height	ساقه به ارتفاع ۵۰ سانتی متر 50cm stem height
تاریخ رشد Growth date	2017.02.25	2017.05.02	2017.05.31	2017.06.16	2017.07.06
زمان داده برداری Measurement Dates	GS	2017.05.07	2017.05.15	2017.05.23	2017.05.31 2017.06.08 2017.06.16
	OLI	-	-	-	2017.05.31 - 2017.06.16

جدول ۳- داده های هواشناسی ایستگاه بهار در ماه های رشد

Table 3- Meteorological data in the growth months of Bahar station

	فروردین March-April	اردیبهشت April-may	خرداد May-June	تیر June-July
دماهی کمینه T-min	-4.9	-0.7	3.5	3.11
دماهی بیشینه T-max	8.18	9.30	3.33	7.38
دماهی متوسط T-Average	3.8	1.15	7.18	2.25
رطوبت نسبی Relative humidity	60	54	33	26
بارش ماهانه Precipitation (mm)	3.96	6.20	8.10	0.0
سرعت وزش باد Wind velocity (m s ⁻¹)	15	11	10	15

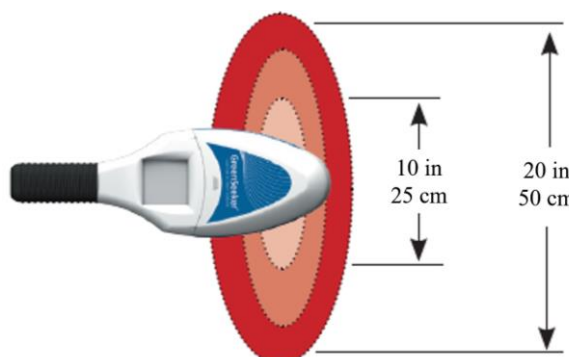
به صورت متناوب در طول زمان های مختلف ساطع می گردد. دیود قرمز و سپس فروسرخ هر کدام به مدت یک میلی ثانیه در فرکانس ۴۰۰۰ هرتز پالس می دهند. هر دیود ۴۰ پالس پی در پی، پیش از توقف ساطع می کند. منطقه اندازه گیری با ۶۰ سانتی متر قطر در حالی که دستگاه عمود بر زمین قرار گرفته، روشن می شود. همچنین

سبزینه سنج و اسپکترو متر

سبزینه سنج ابزاری دقیق برای اندازه گیری غیر مخرب و سریع شاخص پوشش گیاهی در طول دوره رشد و مدیریت مصرف کود نیتروژن است. محدوده اندازه گیری سبزینه سنج 660 ± 15 nm در باند 770 ± 15 nm در باند فروسرخ می باشد. نور از دیودها

بین رفتن گیاه و خسارت به کشاورز می‌گردد. از طرف دیگر آگاهی از میزان شرایط خاک ضروری است تا بتوان قبل از کاشت آماده‌سازی زمین را انجام داد. برای آسان نمودن سنجش عامل‌های سیب‌زمینی، برگ در دو زمان از دوره رشد (سه برگی و حجمی شدن غده) توسط طیفسنج (AvaSpec-ULS 2048-UV-VIS 2048) بررسی و NDVI از طیف استخراج گردید.

این حسگر به دلیل متوسط‌گیری از امواج برگشتی از یک سطح بیضی (شکل ۱) با مقدار تراکم بوته در واحد سطح هم رابطه مستقیم داشته و با تغییرات حجم سبزینگی این ساخته نیز تغییر می‌کند. از آنجا که سیاری از زمین‌های کشاورزی دور از شهرها واقع هستند و امکان بررسی آزمایشگاهی برای تشخیص NDVI در هر مرحله از رشد گیاه وجود ندارد، لذا کشاورزان به طور معمول چندین بار کوددهی را انجام می‌دهند که اثرات آن در گیاه باقی می‌ماند یا در حالت بارزتر سبب از



شکل ۱- سطح اندازه‌گیری شده به وسیله حسگر GreenSeeker (وقتی در ارتفاع ۶۰ cm و ۱۲۰ cm بالای گیاه قرار می‌گیرد به ترتیب بیضی‌هایی به قطر ۲۵ cm و ۵۰ cm را پوشش می‌دهد)

Fig.1. The field of view that measured by GreenSeeker sensor (approximately cover 25cm and 50cm oval diameter wide at 60cm and 120cm above the ground, respectively)

آمریکا^۲ برای انجام تصحیحات اتمسفری در دسترس می‌باشد. به طور کلی دو عامل مهم در اتمسفر بر روی تصاویر اثر می‌گذارد: خطای جذب و خطای پخش که دو روش تصحیح اتمسفری مطلق و نسبی برای اصلاح آن‌ها وجود دارد. داده‌های ماهواره‌ای را نیز می‌توان به یکی از روش‌های استفاده از نقاط کنترل زمینی، استفاده از پارامترهای مداری ماهواره‌ای و همبستگی مورد تصحیح هندسی قرار داد و با یک مبنای مطابقت داد. مینا می‌تواند یک تصویر و یا یک نقشه باشد. در صورتی که مینا یک تصویر باشد، تصحیح از نوع تصویر به تصویر و اگر مینا نقشه باشد، تصحیح از نوع تصویر به نقشه خواهد بود. از طرف دیگر روش‌های تصحیح اتمسفری برای رهایی از اثرات تابش و اثرات جوی به کار رفت تا دقیق NDVI استخراج شده از تصاویر افزایش یابد. تصحیح اتمسفری به روش کسر شی تیره^۳ (Chavez 1988) و الگوریتم^۴ FLAASH بر روی تصاویر در نرم‌افزار ENVI 5.3 انجام شد. پس از تصحیح رادیومتری تصویر لنست شاخص پوشش گیاهی توسط رابطه (۲) محاسبه گردید.

تصحیح تصاویر ماهواره لنست

داده‌های حاصل از سنجنده‌های ماهواره‌ای که به زمین مخابره می‌شوند و به عنوان داده‌های خام معروف هستند دارای خطاهای زیادی می‌باشند. این خطاهای می‌توانند ناشی از سکو (تغییر ارتفاع مدار و عدم تعادل)، سنجنده (پدیده پانوراما، نابرابری ضرایب تنظیم آشکارسازها) و محیط (کرویت و پستی و بلندی‌های زمین، چرخش زمین، اثرات اتمسفر) باشند. هرچند که تصاویر ماهواره‌ای پس از دریافت از ماهواره در ایستگاه‌های گیرنده زمینی مورد تصحیحات اولیه (سامانه‌ای) قرار می‌گیرند، اما همچنان دارای خطاهایی نظیر خطای جایی ناشی از پستی و بلندی هستند، ضمن آنکه فاقد مختصات نیز می‌باشند و هیچ گونه تصحیح هندسی بر روی عکس‌های هوایی انجام نمی‌گیرد لذا هر نوع این داده‌ها قبل از اینکه مورد تجزیه و تحلیل قرار گیرند، باید مورد تصحیحات هندسی تکمیلی قرار گیرند و به لحاظ مختصات با یک مبنای استاندارد که عموماً نقشه‌های توپوگرافی در نظر گرفته می‌شوند، مطابقت داده شوند. اعداد دیجیتال تصاویر بر اساس ضرایب کالیبراسیون و معادلات اصلاح استاندارد، به بازتاب سطح اتمسفری^۱ تبدیل می‌شوند. همچنین سیستم پردازش تطبیقی اختلال سازمان زمین‌شناسی

2- U.S. Geological Survey (USGS)

3- Dark Object Subtraction (DOS)

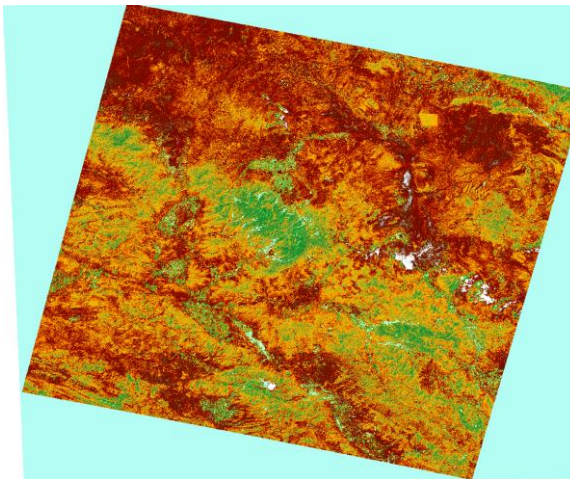
4- Fast Line-of-sight Atmospheric Analysis of Hyper Cubes

1- Top of Atmosphere (TOA)

قرمز و فروسرخ می‌باشد. تصویر اولیه منطقه و تصویر تصحیح شده آن در شکل ۲ نشان داده شده است.

$$\frac{\text{Band 4} - \text{Band 3}}{\text{Band 4} + \text{Band 3}} \quad (2)$$

که در آن Band3 و Band4 بهترتب باند ۳ و باند ۴ محدوده



شکل ۲- تصویر اولیه منطقه (سمت چپ) و تصویر تصحیح شده (سمت راست) توسط ماهواره لندست ۸ در تاریخ ۹۵/۰۳/۲۶ (نقطه سبز رنگ روی تصویر سمت راست منطقه مورد مطالعه را نشان می‌دهد)

Fig. 2. The primary (left) and processed (right) image of Landsat 8 in 15.06.2016

تجییه‌پذیر بود. انتخاب هسته‌های^۳ مناسب برای ماشین‌بردار پشتیبان، منجر به برتری آن نسبت به سایر رویکردهای مبتنی بر تصمیم‌گیری خطی شده است. در توسعه این مدل، حالت SVR-ع با هسته پایه شعاعی^۴ استفاده شد. اعتبارسنجی متقطع یگانه^۵ و خطای حداقل مربعات^۶ بهترتب برای ارزیابی دقت و خطای مدل‌های رگرسیون به کار رفت. آنالیزها در نرمافزار Matlab 2011 انجام گردید.

نتایج و بحث

مقایسه دو سیستم مورد مطالعه ماهواره لندست ۸ و سبزینه‌سنجد برای پایش NDVI به طور مستقیم جواب‌های نزدیکی ارائه نمی‌دهد لذا از برآورده عملکرد فصلی^۷ استفاده شد (Sharma *et al.*, 2015). با تقسیم عدد NDVI بر تعداد روزهای پس از کاشت^۸، مقدار بیومس بازی روزها تخمین زده می‌شود. شاخص INSEY مناسب پیش‌بینی عملکرد بالقوه محصول می‌باشد. منظور از عملکرد بالقوه برآورده بهینه محصول می‌باشد وقتی دیگر نیازی به افزودن کود ازت نباشد. شکل ۳ مقدار محاسبه شده INSEY را توسط GS در روزهای پس از

مدل‌سازی رگرسیونی

تحلیل داده‌ها با روش‌های مختلف رگرسیونی مولفه اصلی^۱ و بردار پشتیبان^۲ انجام شد. PCR رگرسیون چند متغیره کاهش ابعاد داده، با استفاده از حداقل تعداد بردار عمود بر هم می‌باشد. این روش ترکیبی از آنالیز مولفه اصلی (PCA) و رگرسیون غیرخطی (MLR) است. در مرحله PCA به منظور حذف نویز، بردار ویژه ورودی‌ها که معرف پراکنده‌گی داده‌ها است محاسبه می‌شود و در نهایت متغیر پاسخ (خروجی) بر اساس روش حداقل مربعات خطا تخمین زده می‌شود. هنگامی که در متغیرهای ورودی همبستگی مشاهده می‌شود روش PCR نسبت به PLS ارجحیت دارد زیرا به علت تعامل داده‌ها ویژه اثر همبستگی حذف و مدل MLR پایدارتر خواهد بود. از آنجا که عموماً بین داده‌های سینوپتیک وابستگی وجود دارد مدل PCR قابل اعتماد بود. در سال‌های اخیر یکی از تکنیک‌های جدید داده کاوی با نام رگرسیون بردار پشتیبان (SVR) کاربرد موفقیت‌آمیزی در مسائل پیش‌بینی سری‌های زمانی داشته است (Durbha *et al.*, 2007; Gavier-Pizarro *et al.*, 2012). در رگرسیون بردار پشتیبان تعداد داده بر روی نتایج آزمون تأثیری نخواهد داشت (Brereton and Lloyd, 2010) و از آنجا که بررسی دوره رشد سیبزمنی مارفونا در زمان کوتاه برگدهی (چهار ماه) آن صورت گرفته نتایج SVR

3- Kernels

4- Radial Basic Function (RBF)

5- LOOCV

6- RMSE

7- In-Season Estimation of Yield (INSEY)

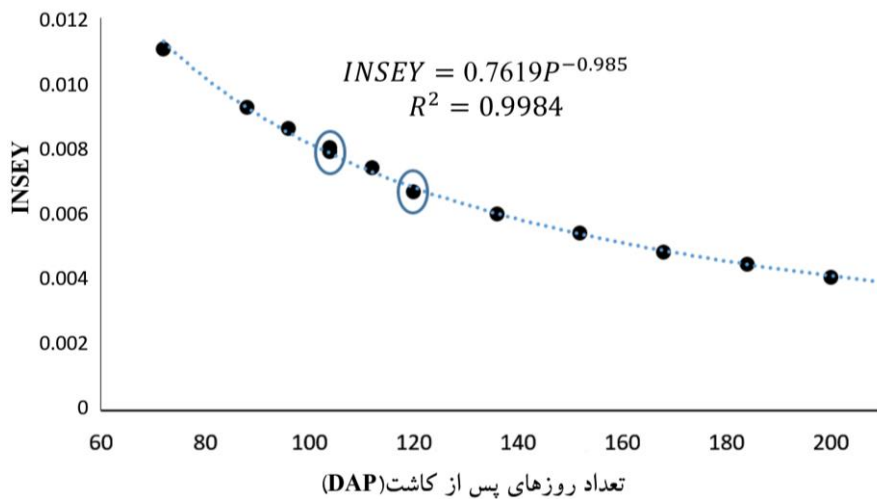
8- Day After Planting (DAP)

1- Principal Componenet Regression (PCR)

2- Support Vector Regression (SVR)

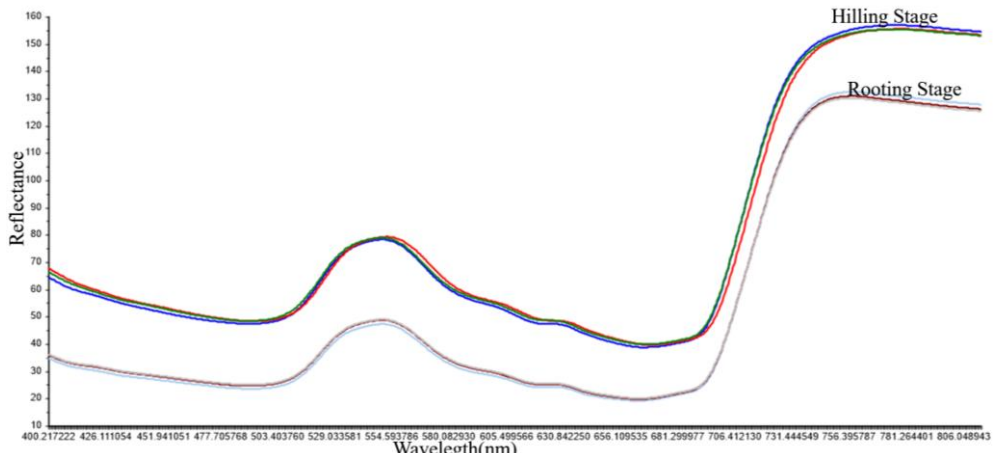
اندازه‌گیری توسط OLI را نیز نشان می‌دهند.

کاشت نشان می‌دهد. دو نقطه‌ای که در شکل مرزبندی شده‌اند زمان



شکل ۳- مقدار محاسبه شده INSEY در روزهای پس از کاشت

Fig. 3. Calculated INSEY versus days after planting (DAP)



شکل ۴- طیف برگ سیب‌زمینی مارفونا در زمان ریشه‌دهی و حجیم شدن غده

Fig. 4. Spectra of Marfona potato in rooting and hillling stages

جدول ۴- ارزیابی دقت و خطای مدل رگرسیونی NDVI-GS

Table 4- Evaluation accuracy and error of NDVI-GS regression model

Input data	داده‌های ورودی	مدل‌های رگرسیونی	کالیبراسیون		اعتبارسنجی	
			Calibration R^2	RMSEc	Validation R^2	RMSEp
داده‌های هواشناسی	-	PCR	0.991	0.013	0.703	0.107
		SVR	0.964	0.064	0.621	0.151
INSEY	-	MLR	0.911	0.014	0.911	0.010
		SVR	0.947	0.041	0.994	0.181

مشابهی را در طی دوره رشد ذرت نشان داد (Sharma *et al.*, 2015). با توجه به NDVI قرائت شده از GS، در زمان خاکدهی پای بوته (رشد اولیه غده‌ها) و حجیم شده غده‌ها همزمان با بارندگی و یا آبیاری، کود اوره با غلظت ۳۲٪ و ۱۶٪ ازت در سطح مزرعه به صورت

با گذشت زمان میزان INSEY با تابع توانی کاهش می‌یابد. محاسبه INSEY بر حسب NDVI طیف قرمز و لبه قرمز نیز توابع

تصاویر ماهواره‌های مختلف، دقت لنست ۸ را پس از تصحیحات تأیید نمود (Ke *et al.*, 2015). به منظور کاهش تعداد داده، متوسط آن در هر ۱۰۰۰ متر مربع محاسبه گردید و مطابق جدول ۲ در هر تاریخ ۳۰ داده به دست آمد.

محلول در ۱۰۰۰ لیتر آب پاشش شد. همچنین کاربرد GS و به دست Roberts آوردن NDVI گندم (Samborski *et al.*, 2016) و ذرت (Roberts *et al.*, 2009) در دوره رشد به مدیریت نیتروژن مورد نیاز گیاه کمک بسیاری نمود. نتایج این تحقیق استفاده از نسل جدید ماهواره‌ها را در کشاورزی دقیق توجیه می‌کند. مقایسه NDVI استخراج شده از

جدول ۵- ارزیابی دقت و خطای مدل رگرسیونی NDVI-OLI

Table 5- Evaluation accuracy and error of NDVI-OLI regression model

Input data	Regression Models	کالیبراسیون		اعتبارسنجی	
		Calibration R ²	Validation RMSEc	Calibration R ²	Validation RMSEp
داده‌های هواشناسی	PCR	0.991	0.003	0.788	0.109
	SVR	0.997	0.023	0.610	0.195
INSEY	MLR	0.965	0.009	0.965	0.006
	SVR	0.947	0.042	0.994	0.182

جدول ۶- مدل رگرسیونی بردار پشتیبان GS و OLI با داده‌های طیف‌سنجی

Table 6- SVR model of NDVI and spectroscopic data

Growing stage	مراحل رشد		NDVI-GS		NDVI-OLI	
	R ²	RMSE	R ²	RMSE	R ²	RMSE
Rooting	0.93	0.11	0.79	0.32		
Hilling	0.94	0.09	0.80	0.32		
Posthilling	0.95	0.08	0.83	0.37		

GS در فروسرخ را ثبت و NDVI معادل حسگر NDVI و OLI محاسبه گردید. به این ترتیب صحت اندازه‌گیری توسط سبزینه‌سنجد و ماهواره لنست تأیید گردید (جدول ۶). به طور متوسط طیف‌سنجی دقت بیشتری در پیش‌بینی GS-NDVI نشان می‌دهد. ($R^2=0.81$) ($R^2=0.94$) نسبت به NDVI-OLI ($R^2=0.81$) نشان می‌دهد. طیف برگ سبزمنی مارفونا در زمان ریشه‌دهی و حجمی شدن غده در شکل ۴ آمده است. همانطور که دیده می‌شود شکل طیف در هر دو یکسان است اما چگالی آن به خصوص در باند قرمز و فروسرخ نزدیک افزایشی است. واضح است که با تکمیل دوره رشد و افزایش تعداد برگ‌ها میزان NDVI افزایش می‌یابد در صورتی که گیاه ازت لازم را دریافت کرده باشد.

نتیجه‌گیری

نتایج این مطالعه تأییدی بر کاربرد مفید فناوری GS به عنوان روشی سریع و دقیق برای پیش‌بینی NDVI می‌باشد. استفاده از روش‌های مختلف رگرسیونی نتایج مشابهی در بی داشت اما در این میان تکنیک SVR مناسب‌ترین جواب را ارائه داد. گرچه پیش‌بینی NDVI نیازمند تیمارهای مختلف کوددهی است اما از آنجا که مزرعه پژوهشی نبود کشاورز ریسک تغییر کیفیت محصول نهایی را متقبل نشد. از طرف دیگر همواره افزایش دوره بررسی در سال‌های متمامی

از رگرسیون خطی اجزای اصلی^۱ و رگرسیون بردار پشتیبان^۲ با مقدار اپسیلون^۳ (ε=0.25) برای استخراج روابط NDVI-GS و NDVI-OLI^۴ استفاده شد و ضریب تبیین برای هر سری داده ورودی، تخمین زده شد که در جدول ۴ و ۵ نتایج خلاصه گردید. کالیبراسیون و اعتبارسنجی به ترتیب توسط داده‌ها در تاریخ‌های مذکور در جدول ۲ و سه تاریخ متوالی آن (2017.06.24, 2017.06.30, 2017.07.07) صورت گرفت. همانطور که مشاهده می‌شود برای پیش‌بینی INSEY از روش MLR استفاده شده است زیرا روش PCR بر روی داده‌های حجمی جواب می‌دهد و زمانی که متغیر و پاسخ یک به یک هستند مدل قابل اعتمادی را پیش‌بینی نکرده، اما SVR در پیش‌بینی INSEY موفق عمل نمود. تصویر تصحیح شده مزرعه سبزمنی برای استخراج NDVI (رابطه ۲) به کار رفت (شکل ۲ و جدول ۴). علاوه بر کاربرد ماهواره لنست، طیف‌سنجی برگ‌های شاه‌پسند در محاسبه NDVI و میزان کلروفیل موفق عمل نموده است (Pastor-Guzman *et al.*, 2015). همچنین با طیف‌سنجی در بازه طیفی ۳۰۰-۱۱۰۰ nm طول موج ۶۸۰-۷۲۰ nm در باند قرمز و

1- Principal Component Regression (PCR)

2- Support Vector Regression (SVR)

3- NDVI-GreenSeeker

4- NDVI-landsat8 OLI

سپاسگزاری
نویسنده مقاله از همکاری آقایان احمدی و سپهر برای
هماهنگی در یافتن مزرعه و همکاری در اندازه‌گیری‌ها قدردانی
می‌نماید.

کشت دقت مدل‌سازی را افزایش خواهد داد و می‌توان جدول راهنمای
کوددهی مزرعه را استخراج نمود.

References

1. Brereton, R. G., and G. R. Lloyd. 2010. Support Vector Machines for classification and regression. *Analyst Journal* 135: 230-267.
2. Chavez, P. S. 1988. An improved dark-object subtraction technique for atmospheric scattering correction of multispectral data. *Remote sensing of environment* 24 (3): 459-479.
3. Cheret, V., and J. Denux. 2011. Analysis of MODIS NDVI time series to calculate indicators of Mediterranean forest fire susceptibility. *GIScience and Remote Sensing* 48: 171-194.
4. Deng, F., J. M. Chen, S. Plummer, M. Chen, and J. Pisek. 2006. Algorithm for global leaf area index retrieval using satellite imagery. *IEEE Transactions on Geoscience and Remote Sensing* 44 (8): 2219.
5. Durbha, S. S., R. L. King, and N. H. Younan. 2007. Support vector machines regression for retrieval of leaf area index from multiangle imaging spectroradiometer. *Remote Sensing of Environment* 107 (1-2): 348-361.
6. Feng, M., C. Huang, S. Channan, E. F. Vermote, J. G. Masek, and J. R. Townshend. 2012. Quality assessment of Landsat surface reflectance products using MODIS data. *Computers & Geosciences* 38 (1): 9-22.
7. Gavier-Pizarroa, G. I., T. Kuemmerle, L. E. Hoyos, S. I. Stewart, C. D. Huebner, N. S. Keuler, and V. C. Radelof. 2012. Monitoring the invasion of an exotic tree (*Ligustrum lucidum*) from 1983 to 2006 with Landsat TM/ETM + satellite data and Support Vector Machines in Córdoba, Argentina. *Remote Sensing of Environment* 122: 134-145.
8. Hadjimitsis, D. G., G. Papadavid, A. Agapiou, K. Themistocleous, M. G. Hadjimitsis, and A. Retalis. 2010. Atmospheric correction for satellite remotely sensed data intended for agricultural applications: Impact on vegetation indices. *Natural Hazards and Earth System Sciences* 10 (1): 89-95.
9. Hong, S. H., J. M. Hendrickx, and B. Borchers. 2009. Up-scaling of SEBAL derived evapotranspiration maps from Landsat (30 m) to MODIS (250 m) scale. *Hydrology* 370 (1): 122-138.
10. Im, J., Z. Lu, J. Rhee, and L. J. Quackenbush. 2012. Impervious surface quantification using a synthesis of artificial immune networks and decision/regression trees from multisensor data. *Remote Sensing of Environment* 117: 102-113.
11. Ke, Y., J. Im, J. Lee, H. Gong, and Y. Ryu. 2015. Characteristics of Landsat 8 OLI-derived NDVI by comparison with multiple satellite sensors and in-situ observations, *Remote Sensing of Environment* 164: 298-313.
12. Kitchen, N. R., K. A. Sudduth, S. T. Drummond, P. C. Scharf, H. L. Palm, D. F. Roberts, and E. D. Vories. 2010. Ground-based canopy reflectance sensing for variable-rate nitrogen corn fertilization. *Agronomy* 102: 71-84.
13. Li, P., L. Jiang, and Z. Feng. 2014. Cross-comparison of vegetation indices derived from Landsat-7 Enhanced Thematic Mapper Plus (ETM+) and Landsat-8 Operational Land Imager (OLI) sensors. *Remote Sensing* 6: 310-329.
14. Maiersperger, T. K., P. L. Scaramuzza, L. Leigh, S. Shrestha, K. P. Gallo, and C. B. Jenkerson 2013. Characterizing LEDAPS surface reflectance products by comparisons with AERONET, field spectrometer, and MODIS data. *Remote Sensing of Environment* 136: 1-13.
15. Meng, Q., W. Cooke, and J. Rodgers. 2013. Derivation of 16-day time-series NDVI data for environmental studies using a data assimilation approach. *GIScience and Remote Sensing* 50: 500-514.
16. MohammadZamani, D., A. Taghavi, M. Gholami-parshokouhi, and J. Massah. 2014. Design, implementation and evaluation of a monitoring system of potato yield. *Journal of Agricultural Machinery* 4 (1): 50-56. (In Farsi).
17. Olfs, H. W. 2009. Improved precision of arable nitrogen applications: requirements, technologies and implementation. *The International Fertiliser Society, Proceeding* 662: 35.

18. Pastor-Guzman, J., P. M. Atkinson, J. Dash, and R. Rioja-Nieto. 2015. Spatotemporal Variation in Mangrove Chlorophyll Concentration Using Landsat 8. *Remote Sensing* 7: 14530-14558.
19. Raun, W. R., J. B. Solie, G. V. Johnson, M. L. Stone, R. W. Mullen, K. W. Freeman, W. E. Thomason, and E.V. Lukina. 2002. Improving nitrogen use efficiency in cerealgrain production with optical sensing and variable rate application. *Agronomy* 94: 815-820.
20. Roberts, D. F., V. I. Adamchuk, J. F. Shanahan, R. B. Ferguson, and J. S. Schepers. 2009. Optimization of crop canopy sensor placement for measuring nitrogen statusin corn. *Agronomy* 101: 140-149.
21. Rostami, M. A., M. H. Raofat, A. Jafari, M. Loghavi, M. Kasraee, and M. J. Nazem-Alsadat. 2014. Monitoring of protection tillage and intensity of tillage using satellite and terrestrial images. *Journal of Agricultural Machinery* 4 (2): 255-265. (In Farsi).
22. Samborski, M., D. Gozdowski, M. Stepieńa, O. S. Walshc, and E. Leszczyńska. 2016. On-farm evaluation of an active optical sensor performance forvariable nitrogen application in winter wheatStanisław. *Agronomy* 74: 56-67.
23. Schepers, J. S., and J. F. Shanahan. 2009. Managing nitrogen with active sensors. 13th Annual Symposium on Precision Agriculture in Australia.
24. Sharma, L. K., H. Bu, A. Denton, and D. W. Franzen. 2015. Active-Optical Sensors Using Red NDVI Compared to Red Edge NDVI for Prediction of Corn Grain Yield in North Dakota USA. *Sensors* 15: 27832-27853.
25. Stark, J. C., and B. D. Brown. 2003. Nutrient Management. In L.D. Robertson and J.C. Stark (Eds) Idaho Spring Barley Production Guide. pp. 22-26.
26. Teillet, P., and X. Ren. 2008. Spectral band difference effects on vegetation infices derived from multiple satellite sensor data. *Canadian Journal of Remote Sensing* 34: 159-173.
27. Tremblay, N., E. Fallon, and N. Ziadi. 2011. Sensing of crop nitrogen status: Opportunities, tools, limitations, and supporting information requirements. *Horticulture Technology* 21: 274-281.
28. Yuan, F., C. Wang, and M. Mitchell. 2014. Spatial patterns of land surface phenology relative to monthly climate variations: US Great Plains. *GIScience and Remote Sensing* 51: 30-50.

Comparison of Normalized Difference Vegetation Index (NDVI) of Potato from Greenseeker and Landsat Satellite

H. Mohamadi Monavar^{1*}

Received: 17-05-2017

Accepted: 04-09-2017

Introduction

Field management is a part of precision agriculture (PA) which has positive environmental and economic effects on quality of plant productions. Nitrogen needs of plant, depends on climate conditions and growing pattern. The optimum of nitrogen fertilizer is varied from fields to fields. Nitrogen management causes uniform shape and size of potatoes, on the other hand decreases the inward and outward damages (Stark and Brown, 2003). Between different herbal indices, NDVI is the most common for monitoring greenness of plants. NDVI was calculated from reflectance in red and NIR bands (equation 1). Greenseeker (GS) is a suitable optical sensor because it is not affected by light and temperature variation or wind intensity.

$$NDVI = \frac{NIR - Red}{NIR + Red} \quad (1)$$

In addition to GS, satellite image was used to evaluate the NDVI of studied potato field. Landsat 8 is the last satellite of this family with new sensors (operational land imager (OLI) and thermal infrared sensor (TIRs)) and additional spectral bands (deep blue invisible (430-450 nm) and shortwave infrared (1360-1390 nm). At the end, support vector regression (SVR) and principal component regression (PCR) or multi-linear regression (MLR) was applied to estimate RMSE and R². The input of models was synoptic data, and NDVI extracted from GS or OLI.

Materials and Methods

The study was performed on marfona cultivar of potato field which located in Bahar city, Hamadan. The potato was planted early March and experiments were started after growing the first leaves. The soil texture in the experimented field was sandy loam soil to 75 cm depth. The territory (the southwest corner of the field) was fertigated by poultry manure with content 4.5% of N in order to put shortage of nitrogen down. Metrology station of Bahar city reported the maximum, minimum and average temperature, relative humidity, precipitation and wind velocity which were effective on NDVI variation. The GS was put at a height of 60 cm above the plant and the average of NDVI was obtained by three times measurement. This sensor has red and NIR diodes which reflect and absorb the spectra in 660±15nm and 770±15nm regions, respectively. GS and OLI were applied for measurement every 8 and 16 days, respectively. Satellite images were analyzed two times (30cm height of plant and hilling stage) during the growing. Although, climate changing were effective on NDVI then some image corrections were necessary. Geometric and atmospheric corrections were applied for removing the absorption and distribution error with dark object subtraction and FLAASH algorithm in ENVI 5.3 Software. In addition, GS is a nondestructive and contactless optic sensor which helps farmers to manage nitrogen because using laboratory method is not easy way for them. As well as, OLI provided accurate NDVI which support the accuracy of GS.

Results and Discussion

In order to correlate NDVI-GS and NDVI-OLI, the third parameter (INSEY) was explained. In season estimation of yield (INSEY) was estimated by dividing NDVI by days after planting (DAP). INSEY index is suitable to predict product potential performance. PCR and SVR methods in Matlab 2011b was used to calculated the relationship of INSEY and NDVI. Also, Red and NIR bands extracted from spectrometer (AvaSpec-ULS 2048- UV-VIS) in the 300-1100 nm region were used in order to support comparison of those sensors. Results showed that the reflectance spectra changed through the growing stage, which is logic because the size and number of leaves were increased and as a result the greenness was enhanced. NDVI calculated with spectra showed more accurate R² for NDVI-GS (0.94) than NDVI-OLI (0.81). In addition, correlation coefficients of the SVR model between INSEY and NDVI were predicted 0.947 and 0.947 for the GS and OLI,

1- Assistant Professor, Mechanics of Biosystem Engineering, Agriculture Department, Buali Sina University
(*- Corresponding Author Email: hosna.mohamadi@basu.ac.ir)

respectively.

Conclusions

The result of the study confirmed the useful Greanseeker as an accurate and fast technology for prediction of NDVI. Among different regression methods, SVR showed the perfect results. Since the farm is a commercial one and not belong to the university, it would not possible to test different nitrogen fertilizer treatments. It is obvious that evaluation of field in different consecutive years helps us to codify manual fertilization.

Keywords: Greenseeker, Normalized difference vegetation index, Sattelite images

